

## ЛИТЕРАТУРА

1. Debue P., J. Chem. Phys., 1933, 1, p. 13.
2. Стюэр Дж., Егер Э — В сб.: Физическая акустика / Под ред. У. Мэзона.— М.: Мир, 1968, 2, ч. А, с. 371.
3. Исаакович М. А. Общая акустика,— М: Наука, 1973
4. Измайлов Н. А. Электрохимия растворов — М.: Химия, 1966.

Горьковский государственный  
университет

Поступила в редакцию  
15 августа 1980 г.

УДК 621.391.822.3

### ВЛИЯНИЕ ФЛУКТУАЦИЙ АМПЛИТУДЫ И ЧАСТОТЫ НА СПЕКТР РАДИОИМПУЛЬСНОГО УМНОЖИТЕЛЯ ЧАСТОТЫ

*A. З. Венгер, Н. И. Гаврилова, А. М. Якименко*

Влияние различного рода флюктуаций на спектр радиоимпульсных последовательностей и, в частности, на выходной спектр радиоимпульсных умножителей частоты в предположении стационарности и независимости флюктуаций различных параметров импульсов исследовано достаточно полно [1—4]. Между тем, на практике эти предположения не всегда правомерны. Так, при использовании для генерации радиоимпульсов ЛПД или диодов Ганна флюктуации амплитуды и частоты генерируемого колебания носят нестационарный характер, коррелированы между собой [5—8] и в ряде случаев являются определяющими.

Поэтому представляется целесообразным проанализировать влияние флюктуаций амплитуды и частоты на спектр радиоимпульсной последовательности, полагая все остальные параметры импульсов регулярными.

Рассмотрим  $k$ -ю реализацию импульсного случайного процесса  $\xi^{(k)}(t)$  с детерминированным тактовым интервалом и неизменной начальной фазой радиоимпульсов:

$$\xi^{(k)}(t) = \sum_{n=-\infty}^{\infty} (1 + \delta\sigma_n^{(k)}) U[(t - nT_0)/\tau_u] \exp [i(\omega_0 + \delta\omega_n^{(k)})(t - nT_0)], \quad (1)$$

где  $U(x)$  — функция, описывающая форму импульса, равная нулю вне интервала  $[0, 1]$ ,  $T_0$ ,  $\tau_u$ ,  $\omega_0$  — период следования, длительность и частота заполнения радиоимпульсов,  $\delta\sigma_n^{(k)}$ ,  $\delta\omega_n^{(k)}$  — случайные отклонения амплитуды и частоты от их средних значений.

Энергетический спектр последовательности (1) в предположении малости флюктуаций частоты по сравнению с частотой генерации равен [1]

$$F(\omega) = F_h(\omega) + F_d(\omega),$$

$$F_h(\omega) = \left( \tau_u^2/T_0^2 \right) \sum_{m=-\infty}^{\infty} \{ g \bar{g} S_a(\omega - 2\pi m/T_0) + |g'|^2 \tau_u^2 S_\omega(\omega - 2\pi m/T_0) - 2\tau_u \operatorname{Re} [S_{\alpha\omega}(\omega - 2\pi m/T_0) g' \bar{g}] \}, \quad (2)$$

$$F_d(\omega) = 4\pi\tau_u^2/T_0^2 \{ g \bar{g} + \sigma_\omega^2 \tau_u^2 \operatorname{Re}(g \bar{g}'') - B_{\alpha\omega}(0) \tau_u 2 \operatorname{Re}(g \bar{g}') \} \sum_{m=-\infty}^{\infty} \delta(\omega - 2\pi m/T_0).$$

Здесь

$$\frac{dg [\tau_u(\omega - \omega_0)]}{d[\tau_u(\omega - \omega_0)]} \equiv g', \quad \frac{d^2g [\tau_u(\omega - \omega_0)]}{d[\tau_u(\omega - \omega_0)]^2} \equiv g'',$$

$$g [\tau_u(\omega - \omega_0)] \equiv g,$$

$$g [\tau_u(\omega - \omega_0)] = \int_0^1 U(y) \exp [-i\tau_u(\omega - \omega_0)y] dy — спектр огибающей радиоимпульса$$

$$\sigma_{\omega}^2 = \lim_{l \rightarrow \infty} \frac{1}{2l+1} \sum_{m=-l}^l m_1 \{ \delta \omega_m^{(k)} \},$$

$$B_{\alpha\omega}(p) = \lim_{l \rightarrow \infty} \frac{1}{2l+1} \sum_{m=-l}^l m_1 \{ \delta \alpha_m^{(k)} \delta \omega_{m+p}^{(k)} \},$$

$\sigma_{\omega}^2$ ,  $B_{\alpha\omega}(p)$  — введенные по аналогии с [9] дисперсия и взаимная функция корреляции второго рода, которые для стационарных случайных величин совпадают с дисперсией и взаимной корреляционной функцией,  $S_{\alpha}$ ,  $S_{\omega}$ ,  $S_{\alpha\omega}$  — спектр флуктуаций амплитуды, частоты и взаимный спектр этих флуктуаций соответственно.

Как было указано, при вычислении спектра (2) предполагалась малость флуктуаций частоты по сравнению с частотой генерации, что позволило функции, входящие в выражение спектра, разложить в ряд Тейлора и ограничиться членами второго порядка малости. Это справедливо при  $\sigma_{\omega}^2 \tau_n^2 \ll 1$ .

Общее выражение энергетического спектра радиоимпульсного случайного процесса (2) в данном приближении состоит из непрерывной части и дискретных спектральных линий при частотах  $f = m/T_0$ .

Спектры модулирующих воздействий «переносятся» на каждую гармонику выходного колебания, причем член, зависящий от спектра взаимных флуктуаций амплитуды и частоты, вносит вклад того же порядка, что и остальные члены суммы. Взаимного перекрытия спектров, связанных с отдельными гармониками не будет, если верхние частоты спектров воздействий  $\Omega_B$  удовлетворяют неравенству  $\Omega_{B\alpha} \approx \Omega_{B\omega} \leq \pi/T_0$ . При отсутствии корреляции между импульсами ( $\tau_k \ll T_0$ ) выражение для непрерывной части спектра упрощается

$$F_H(\omega) = 2\tau_n^2/T_0 \{ \sigma_{\alpha}^2 g \bar{g} + \sigma_{\omega}^2 \tau_n^2 |g'|^2 - 2\tau_n B_{\alpha\omega}(0) \operatorname{Re}[g' \bar{g}] \} \quad (3)$$

и при заданной форме импульсов определяется только дисперсиями случайных величин и значением в нуле взаимной корреляционной функции второго рода. В качестве примера на рис. 1 приведены результаты численного расчета функций  $gg$ ,  $|g'|^2$ ,  $\operatorname{Re}(gg'')$ ,  $2\operatorname{Re}(gg')$  для радиоимпульсов с огибающей прямоугольной формы.

Рассчитаем далее спектральные характеристики радиоимпульсного умножителя частоты. Отношение шум/сигнал на выходе умножителя

$$\mu = \int F_H(\omega) |Q(\omega)|^2 d\omega / \sum F_d(\omega) |Q(\omega)|^2, \quad (4)$$

где  $|Q(\omega)|^2$  — модуль передаточной функции фильтра на выходе радиоимпульсного умножителя. Средняя мощность шумов на выходе полосового фильтра с  $2\Delta\phi \leq \Omega = 2\pi/T_0$  и средней частотой  $k\Omega \approx \omega_0$  записывается с учетом (4) в виде

$$W_H(2\Delta\phi) \approx (\tau_n^2 \Delta\phi / \pi T_0) \{ \sigma_{\alpha}^2 |g(0)|^2 + \sigma_{\omega}^2 \tau_n^2 |g'(0)|^2 \}. \quad (5)$$

Мощность составляющей дискретного спектра с частотой  $k\Omega$  равна

$$W_d(2\Delta\phi) \approx \tau_n^2 / T_0^2 \{ |g(0)|^2 + \sigma_{\omega}^2 \tau_n^2 \operatorname{Re}[g(0) \bar{g''}(0)] \}. \quad (6)$$

Рис. 1.

Из (5) и (6) следует, что отношение шум/сигнал на выходе фильтра имеет вид

$$\mu \approx 2\Delta\phi/\Omega \{ \sigma_{\alpha}^2 + \sigma_{\omega}^2 \tau_n^2 |g'(0)|^2 \}. \quad (7)$$

Теоретические расчеты удовлетворительно совпали (в пределах 10%) с экспериментальными результатами, полученными на радиоимпульсном умножителе частоты трехсанитметрового диапазона, выполненным на диоде Ганна ЗА703.

Таким образом, на основе полученных в работе удобных для инженерных расчетов формул можно с высокой степенью точности рассчитать спектральные характеристики радиотехнических устройств, сигнал на выходе которых может быть представлен случайной импульсной последовательностью (1).

## ЛИТЕРАТУРА

1 Левин Б. Р. Теоретические основы статистической радиотехники — М. Сов. радио, 1966

2 Левин Б. Р., Виленчик Л. С. — Радиотехника, 1970, 25, № 8, с. 18

3. Коновалов Г. В., Тарасенко Е. М. Импульсные случайные процессы в электросвязи — М.: Связь, 1973.
4. Григулевич В. И., Иммореев И. Я. Радиоимпульсные преобразователи частоты. — М.: Сов. радио, 1966.
5. Венгер А. З., Ермак А. Н., Якименко А. М. — ПТЭ, 1976, 6, с. 98.
6. Тагер А. С., Вальд-Перлов В. М. Лавинно-пролетные диоды и их применение в технике СВЧ — М.: Сов. радио, 1968.
7. Левинштейн М. Е., Пожела Ю. К., Шур М. С. Эффект Ганна — М.: Сов. радио, 1975.
8. Thaler H., Ulrich G., Weidman G. — IEEE, 1971, TrMTT-19, № 18, p. 692.
9. Малахов А. Н. Флуктуации в автоколебательных системах. — М.: Наука, 1968.

Харьковский государственный  
университет

Поступила в редакцию  
1 сентября 1980 г.

УДК 538.56 . 519.25

## ЭКСПЕРИМЕНТАЛЬНОЕ ИССЛЕДОВАНИЕ СТОХАСТИЧЕСКИХ АВТОКОЛЕБАНИЙ В ГЕНЕРАТОРЕ НА ДИОДЕ ГАННА

Г. Н. Коростелев, Е. П. Бочаров, А. Н. Бочкарев

Интенсивные шумовые колебания в диодах Ганна, возникающие на начальном отрезке падающего участка  $N$ -образной вольт-амперной характеристики были впервые обнаружены в [1]. При этом исследования проводились в низкочастотной области (до 30 МГц), а в качестве нагрузки диода использовалось омическое сопротивление. Позднее в [2] было проведено численное решение системы уравнений, описывающих поведение доменов электрического поля в диоде Ганна, результаты которого привели автора к выводу об автостохастической природе данного явления. В работе [3] экспериментально обнаружены шумовые колебания в лабораторных образцах диодов Ганна с  $S$ -образной вольт-амперной характеристикой.

В настоящей работе рассматриваются автоколебательные режимы генератора на типовом диоде Ганна, помещенном (в отличие от [1]) в СВЧ колебательную систему, причем внимание удалено вопросам, не затронутым в [1, 3], а именно выявлению типичных для автостохастичности признаков, а также характера бифуркаций, предшествующих возникновению монохроматического режима.

Исследовался генератор обычной волноводной конструкции, активным элементом которого являлся типовой диод Ганна, помещенный между широкими стенками. Настройка осуществлялась с помощью подвижного поршня. Вольт-амперная характеристика  $I(U)$  и соответствующая зависимость генерируемой в сантиметровом диапазоне мощности от приложенного к диоду статического напряжения приведены на рис. 1 (кружки — колебания отсутствуют, треугольники — интенсивные шумовые колебания, крестики — монохроматические колебания). При напряжениях, меньших порогового ( $U < U_1 = 4,5$  В), колебания отсутствуют. При  $U = U_1$  начинается падающий участок вольт-амперной характеристики (это соответствует, как известно, возникновению отрицательного сопротивления в диоде), ток уменьшается скачком, и возникают колебания мощностью 1,5 мВт. Эти колебания характеризуются сплошным шумоподобным спектром, представленным на рис. 2 (развертка логарифмическая).

С ростом напряжения мощность шумовых колебаний увеличивается, каких-либо качественных изменений в спектре сигнала при этом не происходит. При  $U = U_2 = 8,2$  В наблюдается еще одно скачкообразное уменьшение тока и увеличение высокочастотной мощности, сопровождающее возникновение очень неустойчивого режима многочастотных (по всей видимости — автомодуляционных) колебаний, сменяющегося одночастотным при незначительном увеличении напряжения. Частота монохроматических колебаний мало отличается от центральной частоты спектра шумоподобных

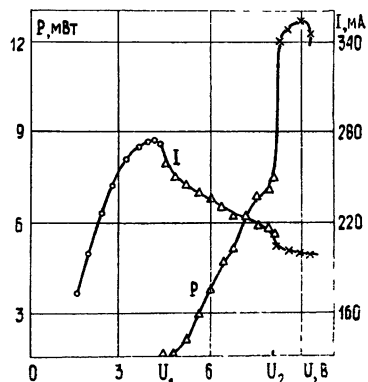


Рис. 1.